

Číslicové meracie prístroje neelektrických veličín. I. Číslicový snímač prietoku

JÁN DANKO

Súhrn. Cieľom výskumnej úlohy (zhrnutím ktorej vznikol tento článok) bol návrh, realizácia a overenie činnosti univerzálnych schém meracích prevodníkov a vyhodnocovacích zariadení (zobrazovacích jednotiek), ktoré po pripojení snímača technologickej veličiny (teploty, tlaku a pod.) by boli schopné merať danú technologickú veličinu, udávať jej hodnotu v číslicovom tvaru a komunikovať s riadiacim počítačom bez použitia analógovo-číslicových prevodníkov.

Článok pozostáva z dvoch častí. Prvá časť sa zaobrá opisom činnosti a výsledkami testovania realizovaného číslicového snímača prietoku.

Meraním vo všeobecnosti nazývame proces, ktorým experimentálne zisťujeme hodnotu fyzikálnej veličiny pomocou technického prostriedku — meracieho prístroja.

Proces merania pozostáva zo snímania, prenosu a spracovanie informácie so zámerom získať hodnotu danej veličiny v najvhodnejšom možnom tvaru na ďalšie použitie. Meranie je teda objektívne a kvantitatívne zhodnotenie meranej veličiny.

Merací prístroj môže byť jeden konštrukčný celok, ale môže pozostávať aj z viacerých konštrukčných celkov a tvoriť meracie zariadenie.

Merací prístroj v podstate pozostáva z troch častí: snímača, meracieho prevodníka a vyhodnocovacieho zariadenia (obr. 1).

Snímač sníma hodnotu meranej veličiny (napr. tlaku, teploty, prietoku a pod.) a mení ju na hodnotu výstupného signálu snímača (napr. dĺžky objemu, odporu, napäťia a pod.).

Merací prevodník mení výstupný signál snímača na signál vhodný na diaľkový prenos (napr. elektrický alebo pneumatický signál).

Doc. Ing. Ján Danko, CSc., Katedra automatizácie chemických a potravinárskych výrob, Chemickotechnologická fakulta STU, Radlinského 9, 812 37 Bratislava.

Vyhodnocovacie zariadenie spracúva výstupný signál meracieho prevodníka a udáva (ukazuje alebo tlačí) hodnotu meranej veličiny. Vyhodnocovacie zariadenie môže tvoriť so snímačom a meracím prevodníkom jeden celok (ukazovacie prístroje) alebo môže byť ako samostatná časť (zapisovače, tlačiarne).



Obr. 1. Bloková schéma meracieho prístroja.

Fig. 1. Block scheme of measuring apparatus. 1 — Reader, 2 — Measuring converter, 3 — Plotting equipment.

1. Meranie prietoku

Pre potreby prác vedeckovýskumného charakteru bol navrhnutý a realizovaný merací prístroj na meranie okamžitého prietoku neagresívnych čírych kvapalných látok s číslicovým výstupom nameraných údajov, ktorý možno využiť aj na mikropočítačový zber a spracovanie dát.

1.1. Opis činnosti prietokomera

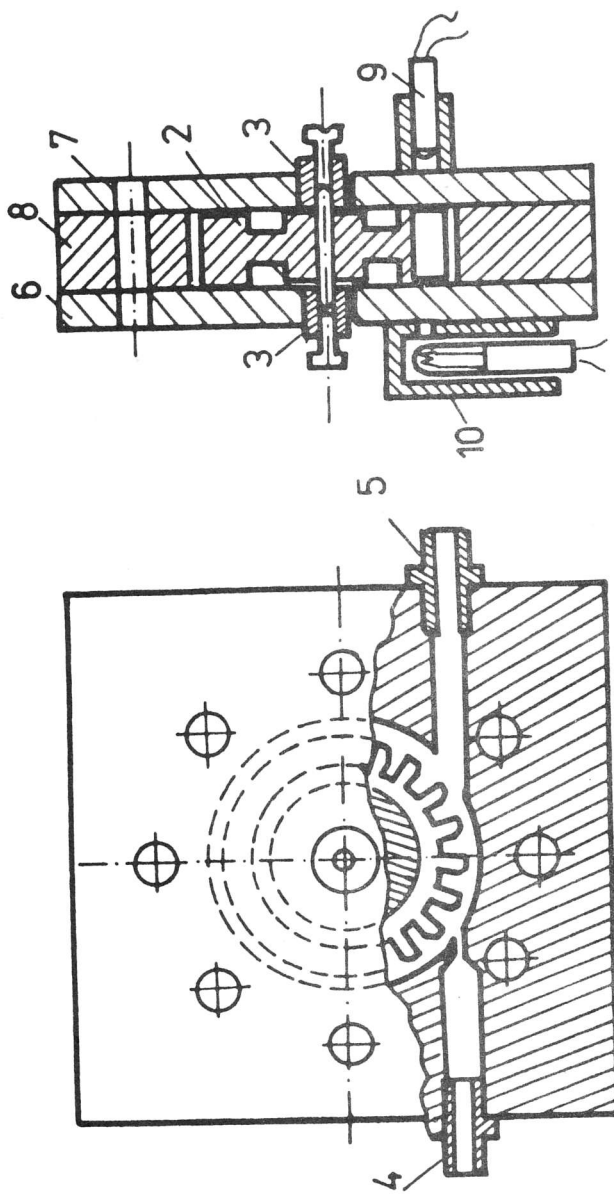
Ako snímač prietoku kvapalnej látky sa zvolil jednovtokový radiálny prietokomer (obr. 2).

Tento typ snímača sme zvolili z množstva existujúcich snímačov okamžitého prietoku kvapalných látok preto, že sa dá pomerne ľahko získať a požadovaná nominálna absolútна hodnota prietoku je určená prietokovými prierezmi snímača a rozmermi lopatiek turbínky.

Plášť realizovaného snímača prietoku je zhotovený z plexiskla a tvorí ho predná stena (6), zadná stena (7) a stredná doska (8). (Medzi stenami a strednou doskou je tesnenie — papier napustený tuhým mazadlom.) Steny so strednou doskou sú vzájomne spojené skrutkami. V strednej doske je zabudovaný vtokový otvor (4), výtokový otvor (5) a centricky uložené lopatkové koliesko — turbínka (2), ktorá je zhotovená z duralu. Klzné ložiská osky (1) turbínky sú umiestnené v teflónových upchávkach (3), ktoré sú upevnené v prednej (6) a zadnej (7) stene snímača (schéma snímača na obr. 2 je nakreslená v mierke 1 : 1).

Na prednej stene snímača je upevnený fototranzistor (9), na zadnej stene žiarovka (10), ktoré fotoelektricky snímajú otáčky turbínky (2). Turbínka má 20 lopatiek a fotoelektrický snímač vyšle pri jednej otáčke 20 impulzov.

V prípadoch, keď treba merať prietok kalných kvapalných látok, nedá sa

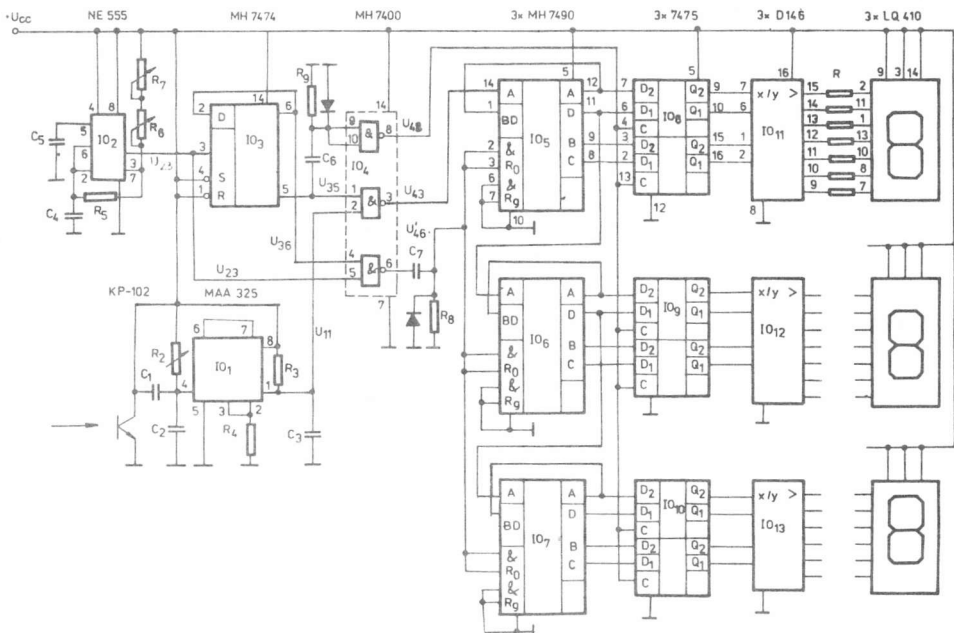


Obr. 2. Schéma lopatkového radiálneho prietokomera.
Fig. 2. Scheme of the blade radial flow indicator.

použiť fotoelektrický snímač otáčok a treba ho nahradieť opticko-elektrickým inkrementálnym rotačným čidlom IRC 120—125, ktoré vyrába ZPA Košíre, k. p., závod Netolice. (Použitím IRC-120 sa podstatne zhoršia dynamické vlastnosti turbínkového prietokomeru.)

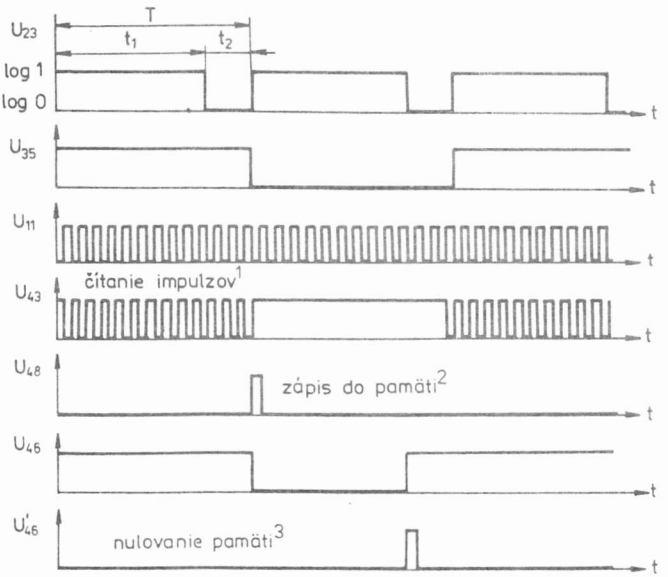
Elektrické impulzy z fototranzistora 9 (KP 102) (obr. 2) sa privádzajú do elektronického vyhodnocovacieho zariadenia (obr. 3), kde sa upravujú v integrovanom obvode IO₁ (MAA 325) na obdĺžnikové kmity (IO₁ v uvedenom zapojení pracuje ako Schmittov klopný obvod), ktorých frekvencia závisí od okamžitej kruhovej rýchlosťi turbínky.

Činnosť celého elektronického zariadenia vyhodnocujúceho okamžitý prietok riadi riadiaci blok, ktorý tvoria integrované obvody IO₂ (NE 555), IO₃ (MH 7474) a IO₄ (MH 7400). Časovú základňu riadiaceho obvodu tvorí integrovaný obvod IO₂, ktorý pracuje v astabilnom režime — vo funkcií kmitajúceho multivibrátora. Počas nabíjania kondenzátora C₄ ($t_1 = 0,693(R_5 + R_6 + R_7)C_4$) je na výstupe 3. obvodu IO₂ signál vysokej napäťovej úrovne U₂₃ = log 1. Počas vybijania kondenzátora C₄ ($t_2 = 0,693R_5C_4$) je na výstupe 3. obvodu IO₂ signál napäťovej úrovne U₂₃ = log 0. Celá períoda činnosti IO₂ je $T = t_1 + t_2$ (pozri obr. 4).



Obr. 3. Elektrická schéma vyhodnocovacieho zariadenia.

Fig. 3. Electric scheme of the evaluation device.



Obr. 4. Časové priebehy riadiacich signálov.

Fig. 4. Time behaviour of control signals. (1 — Reading of impulses, 2 — Memory record, 3 — Memory erasing.)

Periodu kmitov výtupného signálu U_{23} obvodu IO_2 môžeme nastavovať hrubo, zmenou odporu rezistora R_6 , jemne, zmenou odporu rezistora R_7 .

Riadiace signály sa vytvárajú zo signálu U_{23} pomocou integrovaného obvodu IO_3 (MH 7474), ktorý pracuje vo funkcií T-klopného obvodu.

Výstupné signály U_{35} a U_{36} integrovaného obvodu IO_3 riadia (cez logické členy NAND integrovaného obvodu IO_4) činnosť čítačovej a pamäťovej časti vyhodnocovacieho zariadenia. Časové priebehy riadiacich signálov sú na obr. 4.

Výstupný signál U_{11} z IO_1 sa privádza na vstup integrovaného obvodu IO_5 (MH 7490A) cez dvojvstupový logický člen NAND obvodu IO_4 (MH 7400) v tom prípade, keď $U_{35} = \log 1$. Integrovaný obvod MH 7490A je desiatkový čítač vstupných impulzov U_{43} . Pracuje tak, že po načítaní 10 impulzov vyšle impulz do nasledujúceho čítača (integrovaného obvodu IO_6) a IO_5 sa vynuluje a začne znova čítať vstupné impulzy U_{43} .

Po uplynutí času periody T jedného cyklu činnosti IO_3 riadiaci signál U_{48} , vytvorený deriváciou signálu U_{35} , dá povel na zápis načítanej informácie v integrovaných obvodoch IO_5 , IO_6 a IO_7 do integrovaných obvodov IO_8 , IO_9 a IO_{10} (MH 7475 — pracuje ako pamäť 4-bitovej informácie). Po uplynutí času t_1 od vzniku signálu U_{48} signál U'_{46} , ktorý je vytvorený zo signálu U_{46} (vzniknutý z U_{23} a U_{36}) pomocou derivačného člena C_7 , R_8 vynuluje čítače impulzov IO_5 , IO_6

a IO_7 , a začiatkom $(2n + 1)$ periódy pracovného cyklu IO_2 cyklus činnosti vyhodnocovacieho bloku sa opakuje.

Informácia uložená v pamäti vyhodnocovacieho bloku (IO_8 — 10_{10}) sa asynchronne dekóduje pomocou integrovaných obvodov IO_{11} — IO_{13} (D 146) z kódu BCD na kód 7 segmentových zobrazovacích jednotiek. Uvedenú schému možno rozšíriť pomocou ďalších integrovaných obvodov MH 7490A, MH 7475 a D 146 na päť zobrazovacích jednotiek.

1.2 Testovanie prietokomera

Na testovanie prietokomera sa použilo päť neagresívnych kvapalín s rôznou hustotou a viskozitou. Hodnoty fyzikálnych parametrov testovaných kvapalín uvádzajú tab. 1.

Konštantný prietok testovanej kvapaliny zabezpečovala Mariottova fľaša, ktorá udržovala konštantný tlak kvapaliny pretekajúcej cez prietokomer.

Pri konštantnom tlakovom spáde Δp na prietokomeri (zo snímača kvapalina vytiekala do odmernej nádoby pri atmosferickom tlaku) platí, že objemový prietok cez snímač je daný vzťahom

$$Q = \frac{\sqrt{\Delta p}}{R}, \quad (1)$$

kde R je hydraulický odpor vstupného kanála (hydraulický odpor výstupného kanála a rotujúcej turbínky je zanedbateľný v porovnaní s odporom vstupného kanála). Ak je Δp konštantné, je konštantný aj prietok cez snímač.

Pri konštantnom prietoku Q_v (overovanom pomocou odmernej nádoby objemu V , ktorá sa naplnila za čas t , vypočítanom zo vzťahu $Q_v = V/t$), odčítaval sa číselný údaj z displeja (tvoreného troma sedemsegmentovými zobrazovacími jednotkami $LQ410$) niekoľkokrát za sebou (aby sa vylúčili hrubé chyby merania a aby sa overila hodnovernosť a opakovateľnosť údaja) pri konštantnej periode pracovného cyklu $T = 0,65$ s nastavovanej pomocou premenných odporov R_6 (hrubo) a R_7 (jemne).

Závislosť prietoku testovaných kvapalín od tlakového spádu na snímači sú na obr. 5.

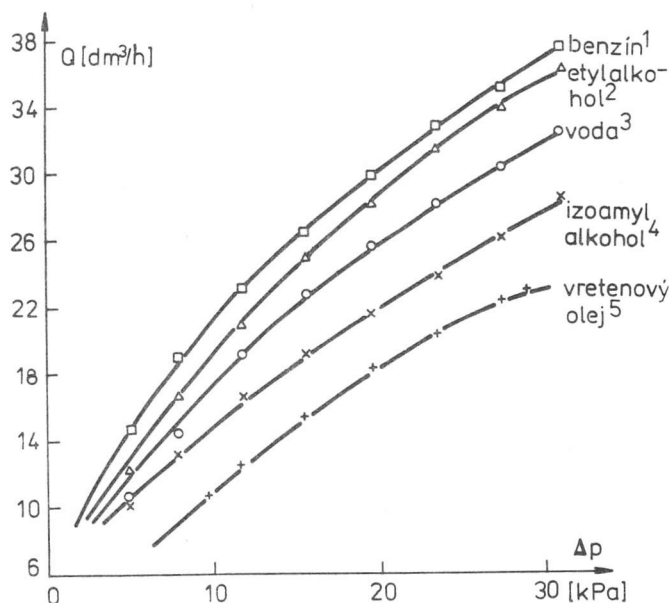
Uvedené závislosti možno približne opísť analytickým vzťahom (ktorý využadruje prietokovú závislosť turbulentného odporu)

$$Q_v = \frac{\pi d^2}{4} \alpha \frac{\sqrt{2 \Delta p}}{\varrho}, \quad [\text{m}^3/\text{s}] \quad (2)$$

kde d [m] je priemer dýzy napájacieho kanála ($d = 1,2$ mm), α — prietokový

súčiniteľ pre danú kvapalinu, ϱ [kg/m³] — hustota pretekajúcej kvapaliny, Δp [Pa] — tlakový spád na snímači.

Priekrový súčiniteľ α od určitej hodnoty Reynoldsovo čísla Re_{hr} nezávisí od priekoku. Hodnoty Re_{hr} a priekrovového súčiniteľa α pre testované kvapaliny sú v tab. 1.



Obr. 5. Priekrové závislosti snímača.

Fig. 5. Through-flow dependence of reader. (1 — Petrol, 2 — Ethyl alcohol, 3 — Water, 4 — Isoamyl alcohol, 5 — Spindle oil.)

Tabuľka 1. Hodnoty Re_{hr} a priekrovového súčiniteľa α pre testované kvapaliny
Table 1. Re_{hr} values and α flow coefficient for tested liquids

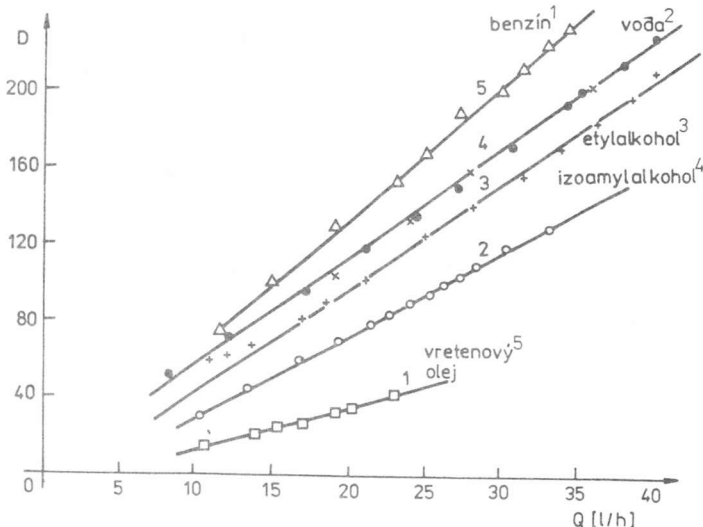
| Testovaná kvapalina ¹ | Parameter ² | | | |
|----------------------------------|-----------------------------------|--|-----------|----------|
| | ϱ [kg/m ³] | $v \cdot 10^{-6}$ [m/s ²] | Re_{hr} | α |
| voda ³ | 998,2 | 1,007 | 6500 | 1 |
| etylalkohol ⁴ | 789,0 | 1,492 | 6000 | 1 |
| benzín ⁵ | 710,0 | 0,644 | 12000 | 1 |
| izoamylalkohol ⁶ | 813,6 | 5,031 | 1500 | 0,82 |
| vretenový olej ⁷ | 874,7 | 12,941 | 460 | 0,68 |

1 — Tested liquid, 2 — Parameter, 3 — Water, 4 — Ethyl alcohol, 5 — Petrol, 6 — Isoamyl alcohol, 7 — Spindle oil.

Hodnoty Re_{hr} a prietokového súčiniteľa α sa vypočítali zo vzťahov

$$Re = \frac{4Q}{\pi d v}, \quad \alpha = \frac{4Q\sqrt{\rho}}{\pi d^2 \sqrt{2 \Delta p}}. \quad (3)$$

Závislosti číselného údaj zobrazovacích jednotiek D od objemového prietoku Q cez snímač sú na obr. 6.



Obr. 6. Závislosti údaja displeja of objemového prietoku.

Fig. 6. Dependence of display data on volume flow. (1 — Petrol, 2 — Water, 3 — Ethyl alcohol, 4 — Isoamyl alcohol, 5 — Spindle oil.)

Tieto závislosti môžeme opísť jednoduchým analytickým vzťahom

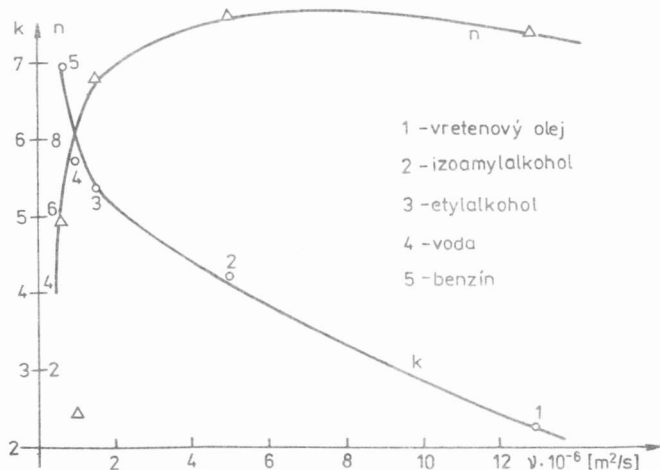
$$D = kQ - n, \quad (4)$$

kde k je smernica priamky pre danú testovanú kvapalinu, n — necitlivosť snímača.

Necitlivosť je daná zotrvačnosťou turbínky (trením osky turbínky v klznom ložisku) a viskóznymi vlastnosťami pretekajúceho média — pri akom minimálnom prietoku sa prúd testovanej kvapaliny vytiekajúcej z dýzy vstupného kanála odtrhne od vnútornej steny komory snímača.

Grafy závislosti parametrov k a n kinematickej viskozity pretekajúcej kvapaliny sú na obr. 7. Ako je z obrázku zrejmé, oba parametre veľmi závisia od viskozity pretekajúcej kvapaliny.

Aby sa údaj displeja číslicového snímača okamžitého prietoku zhodoval s hodnotou okamžitého prietoku testovanej kvapaliny od Q_{min} (keď už prietoko-



Obr. 7. Závislosť parametrov k , n priamky od viskozity testovanej kvapaliny.

Fig. 7. Dependence of k , n parameters on viscosity of tested liquid. 1 — Spindle oil, 2 — Isoamyl alcohol, 3 — Ethyl alcohol, 4 — Water, 5 — Petrol.

vý súčiniteľ α nezávisí od hodnoty Re_{hr}) do Q_{max} , nastavíme pracovnú períodu vyhodnocovacieho zariadenia pomocou premenných odporov R_6 a R_7 , alebo treba údaj D vynásobiť prepočítavacím koeficientom Z (napr. na obr. 6 pre benzín $Z = 1/7$).

Testovaný prietokomer je vhodný na meranie okamžitého prietoku máloviskozných kvapalín v rozsahu od $8 \text{ dm}^3/\text{h}$ do $80 \text{ dm}^3/\text{h}$.

Literatúra

1. DANKO, J.: Číslicový merač prietoku malých množstiev kvapalných látok. In: Automatizované systémy riadenia technologických procesov v chemickom a potravinárskom priemysle. Vysoké Tatry 1983.
2. Amatérské rádio: ARB/78, ARB 5/82, ARB 3/83, ARA 1/85.

Do redakcie došlo 15. 10. 1990

Цифровые измерительные приборы неэлектрических величин.

I. Цифровой датчик расхода

Резюме

Целью исследовательской работы был проект, реализация и проверка действия универсальных схем измерительных преобразователей и оценивающих устройств (представляющих единиц), которые после подключения датчика технологической величины (температура, давление и т. п.) были бы способны измерять данную технологическую величину, указывать её величину в цифровом виде и вести диалог с управляющим ЭВМ без использования аналого-цифровых преобразователей.

Статья состоит из двух частей. Первая часть занимается описанием действия и результатами проверки реализованного цифрового датчика расхода.

Digital measuring instruments for non-electric constants measurements.

I. Digital reader of flow

Summary

The aims of this paper were suggestion, realization and verification of functions of universal schemes for measuring converters and plotting equipments. These image-forming units ought to be able to measure the given technological quantity (temperature, pressure, etc.) after connection of these units to the reader of technological quantity, to indicate its value in digital form and to communicate with control computer without using the analog-to-digital converter.

The paper consists of two parts. The first part is concerned with the description of the work and testing results of the realized digital flow reader.